

NOVOS FLAVONOÍDEOS DE *Margaritopsis carrascoana* COM ATIVIDADE ANTIOXIDANTE

Raimundo Regivaldo G. Nascimento^a, Jackelyne A. Monteiro^a, Antônia Torres A. Pimenta^a, Maria Teresa S. Trevisan^a, Raimundo Braz-Filho^b, Elnatan Bezerra de Souza^c, Edilberto R. Silveira^a e Mary Anne S. Lima^{a,*}

^aDepartamento de Química Orgânica e Inorgânica, Centro de Ciências, Universidade Federal do Ceará, CP 12.200, 60021-940 Fortaleza – CE, Brasil

^bLaboratório de Ciências Químicas, Universidade Estadual do Norte Fluminense Darcy Ribeiro, 28013-602 Campos dos Goytacazes – RJ, Brasil / Departamento de Química, Universidade Federal Rural do Rio de Janeiro, Seropédica – RJ, Brasil

^cDepartamento de Biologia, Universidade do Vale do Acaraú, 62040-370 Sobral – CE, Brasil

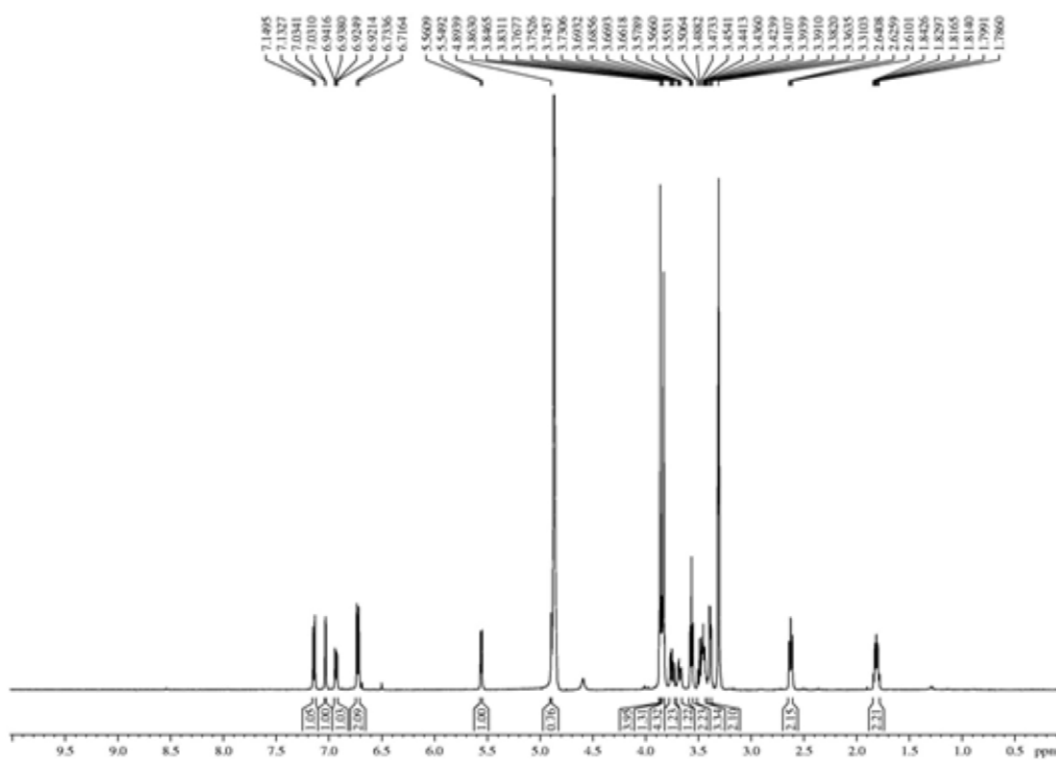


Figura 1S. Espectro de RMN ^1H (500 MHz, MeOD) do composto I

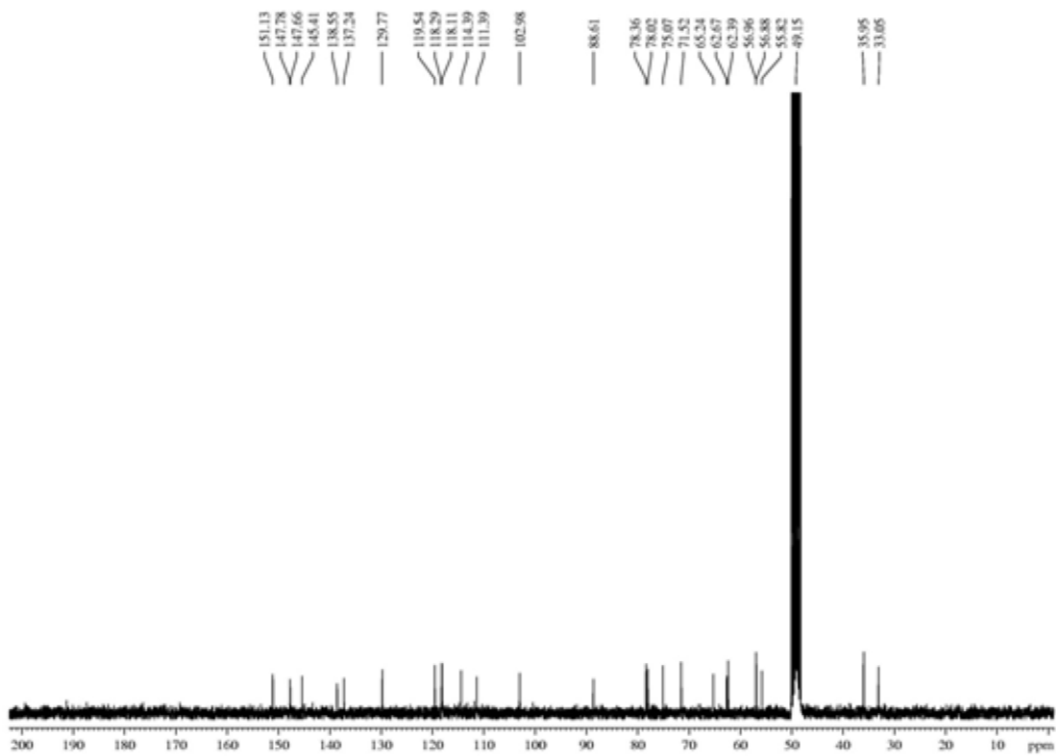


Figura 2S. Espectro de RMN ^{13}C (125 MHz, MeOD) do composto I

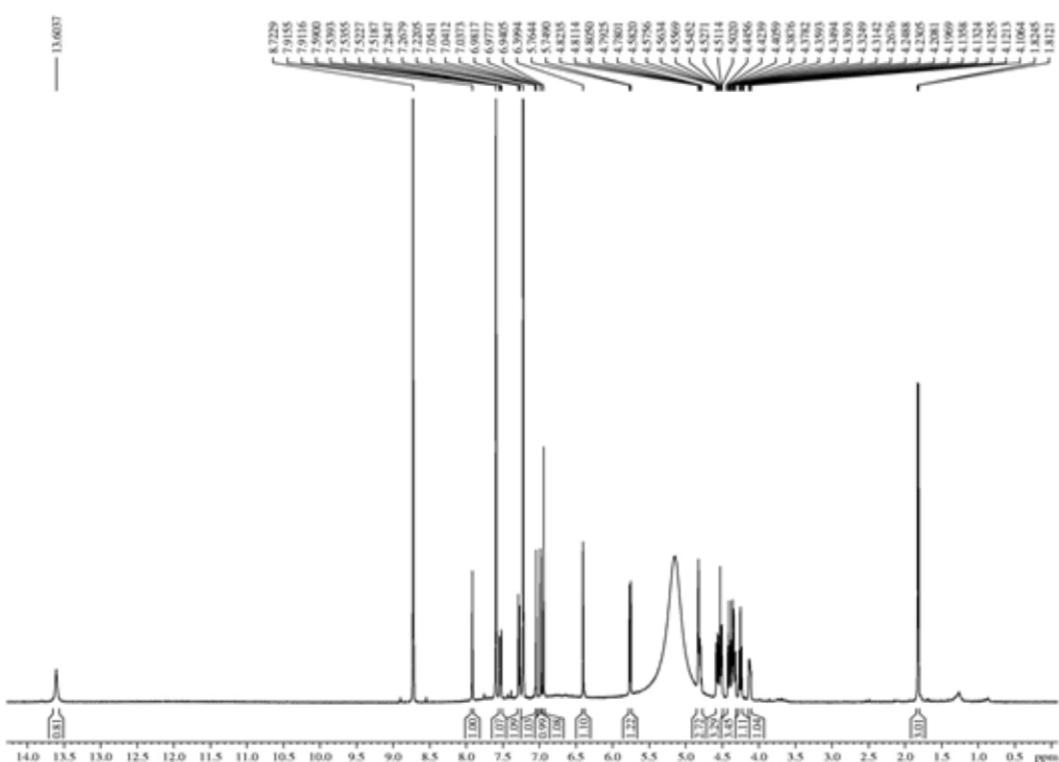


Figura 3S. Espectro de RMN ^1H (500 MHz, $\text{C}_5\text{D}_5\text{N}$) do composto 2

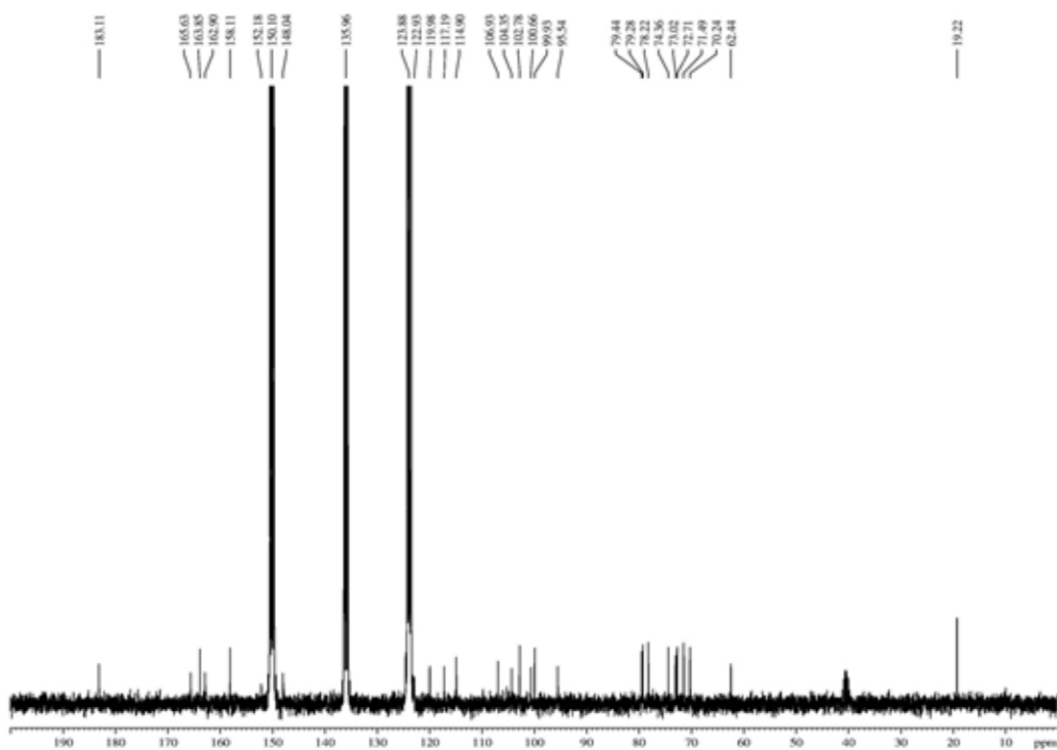


Figura 4S. Espectro de RMN ^{13}C (125 MHz, $\text{C}_5\text{D}_5\text{N}$) do composto 2

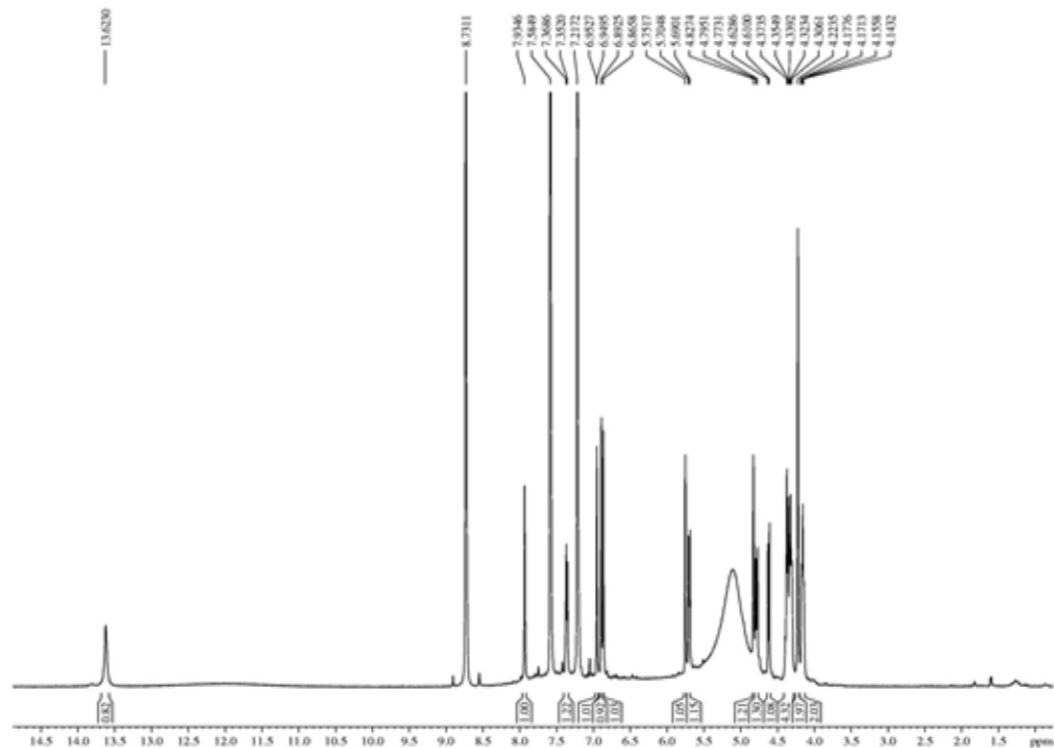


Figura 5S. Espectro de RMN ^1H (500 MHz, $\text{C}_5\text{D}_5\text{N}$) do composto 3

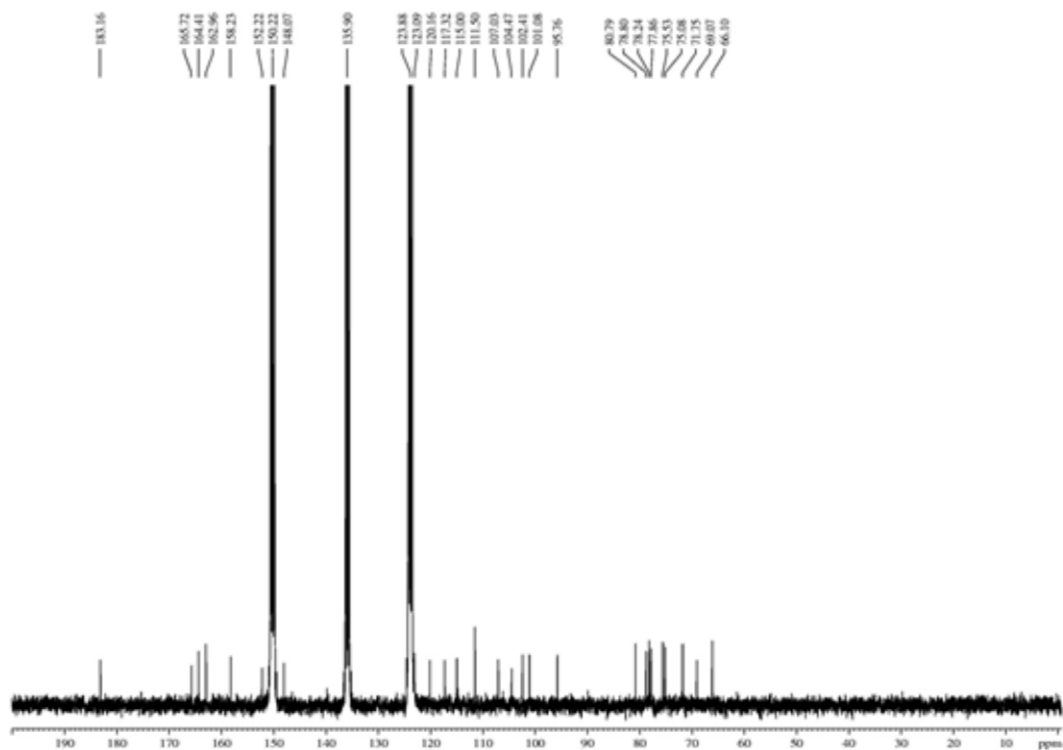


Figura 6S. Espectro de RMN ^{13}C (125 MHz, $\text{C}_5\text{D}_5\text{N}$) do composto 3

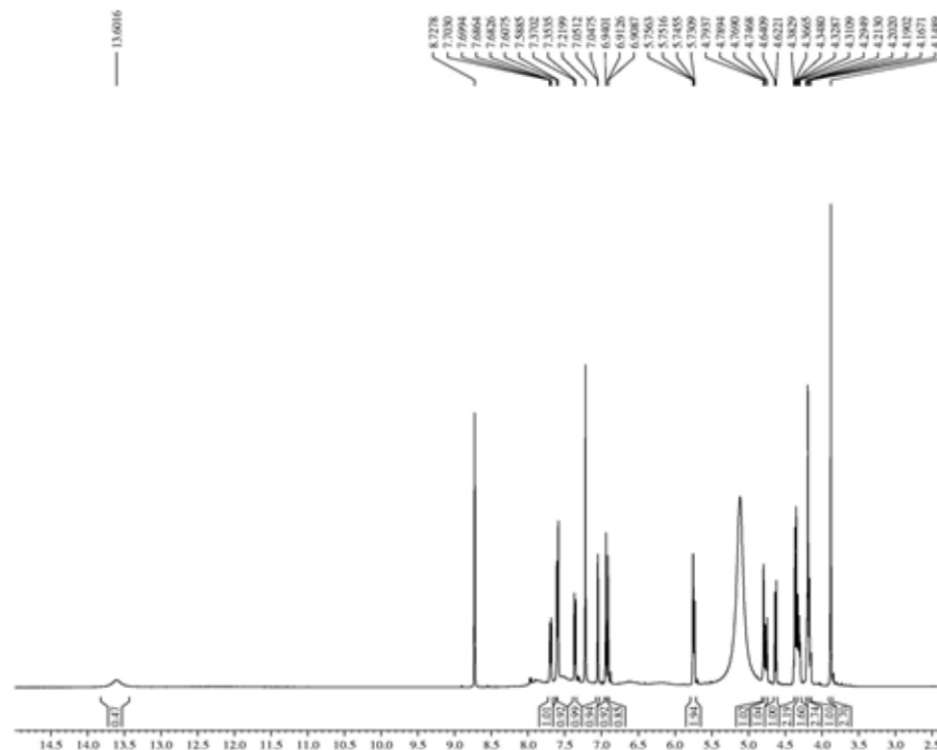


Figura 7S. Espectro de RMN ^1H (500 MHz, $\text{C}_5\text{D}_5\text{N}$) do composto 4

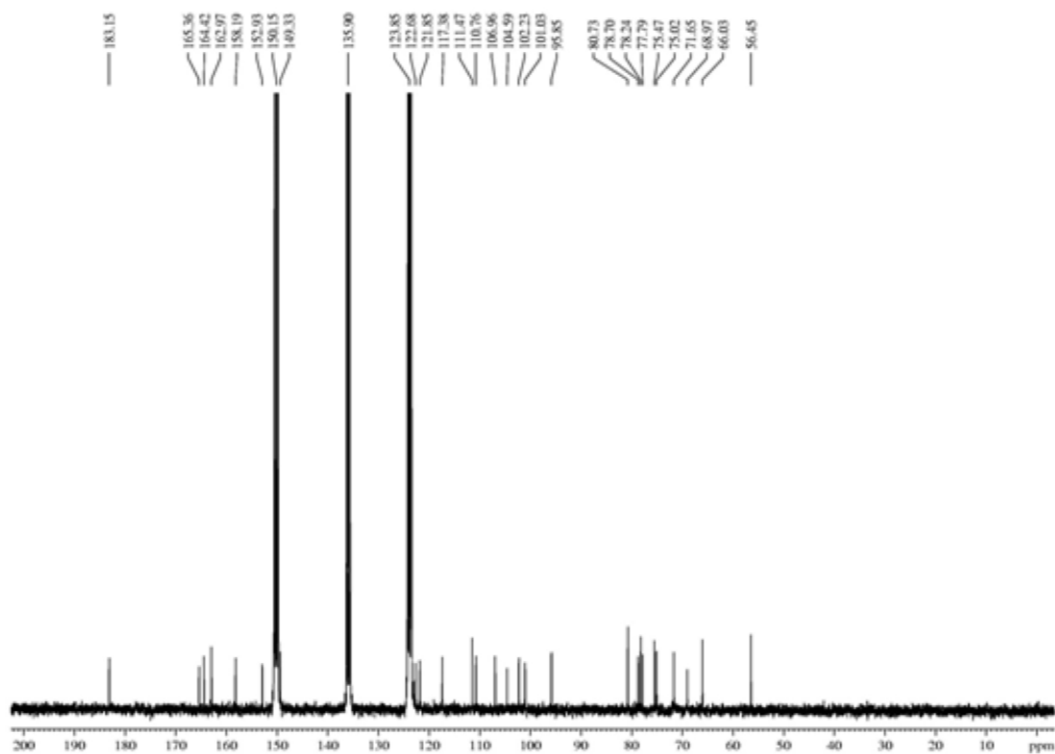


Figura 8S. Espectro de RMN ^{13}C (125 MHz, $\text{C}_5\text{D}_5\text{N}$) do composto 4

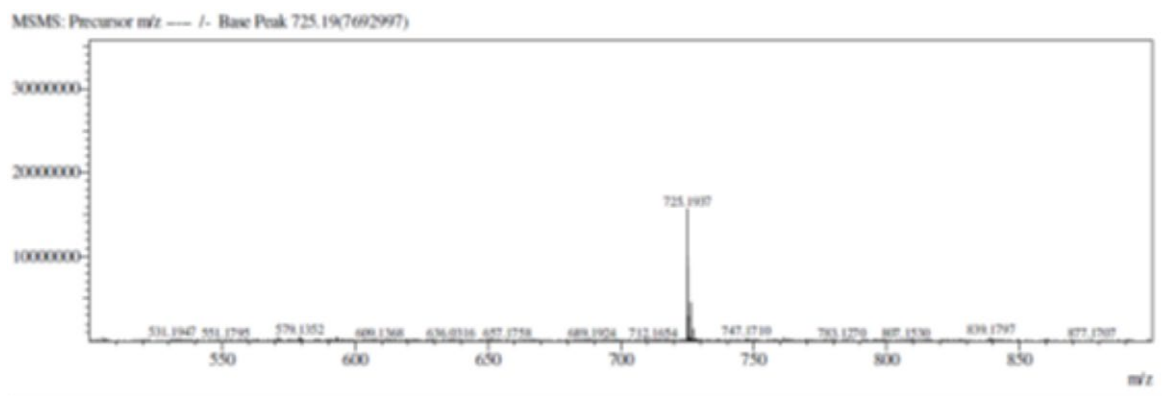


Figura 9S. EM-IES no modo negativo do composto 5

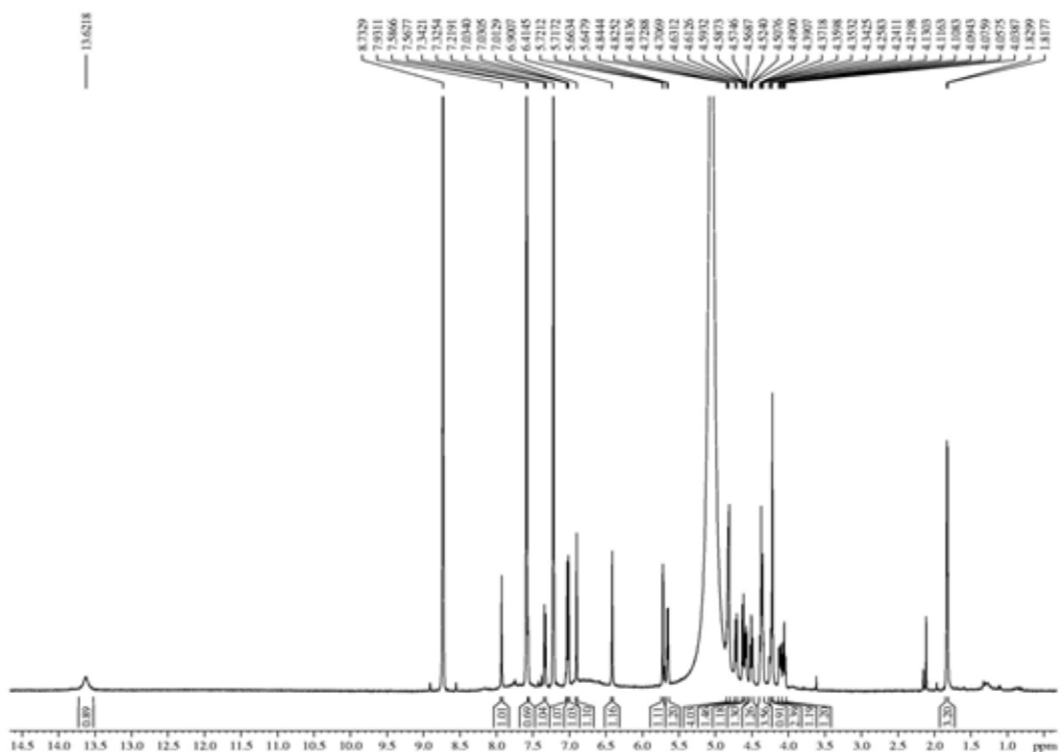


Figura 10S. Espectro de RMN 1H (500 MHz, C_5D_5N) do composto 5

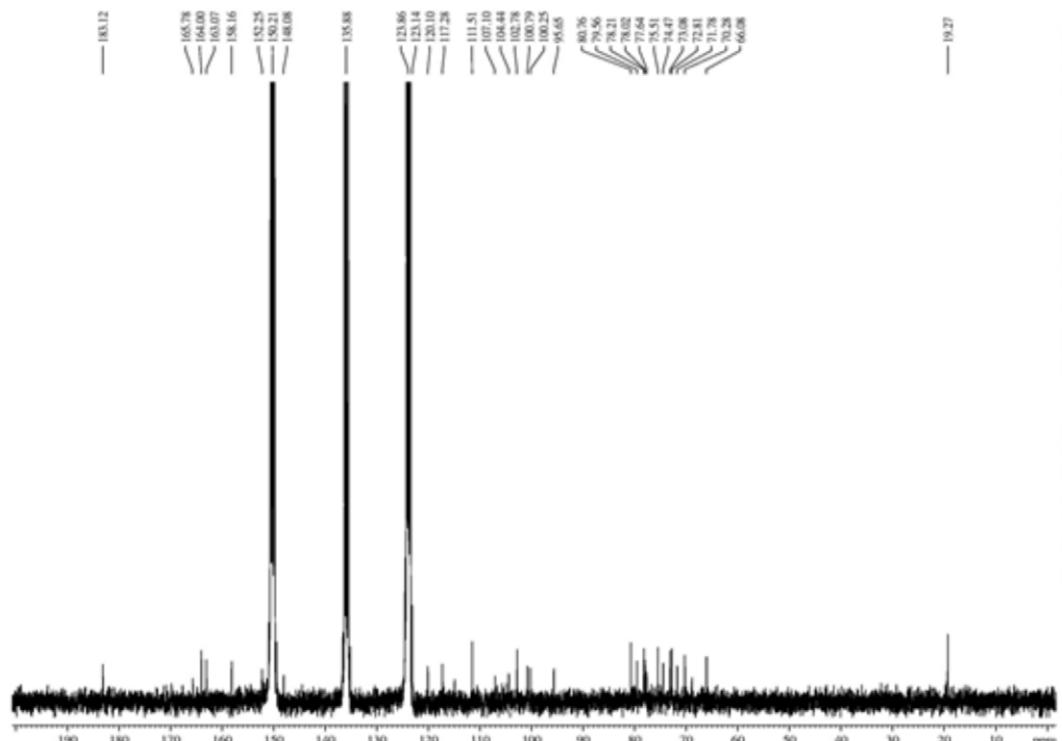


Figura 11S. Espectro de RMN ^{13}C (125 MHz, $\text{C}_5\text{D}_5\text{N}$) do composto 5

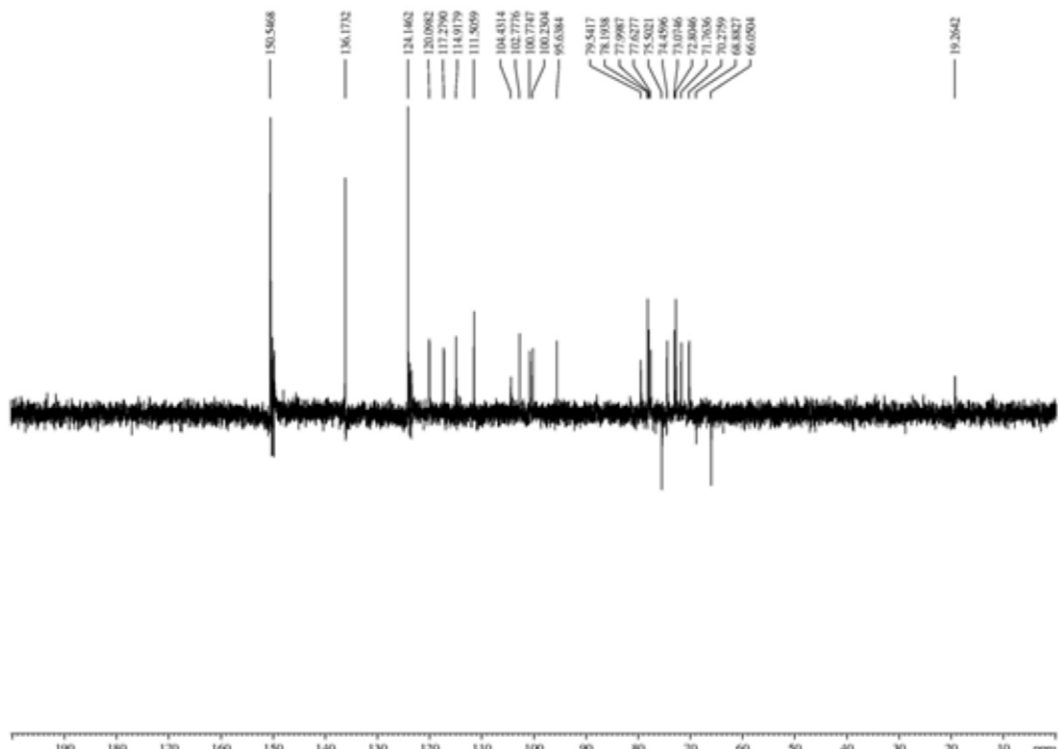


Figura 12S. Espectro de RMN ^{13}C -DEPT ($\theta = 135$) (125 MHz, $\text{C}_5\text{D}_5\text{N}$) do composto 5

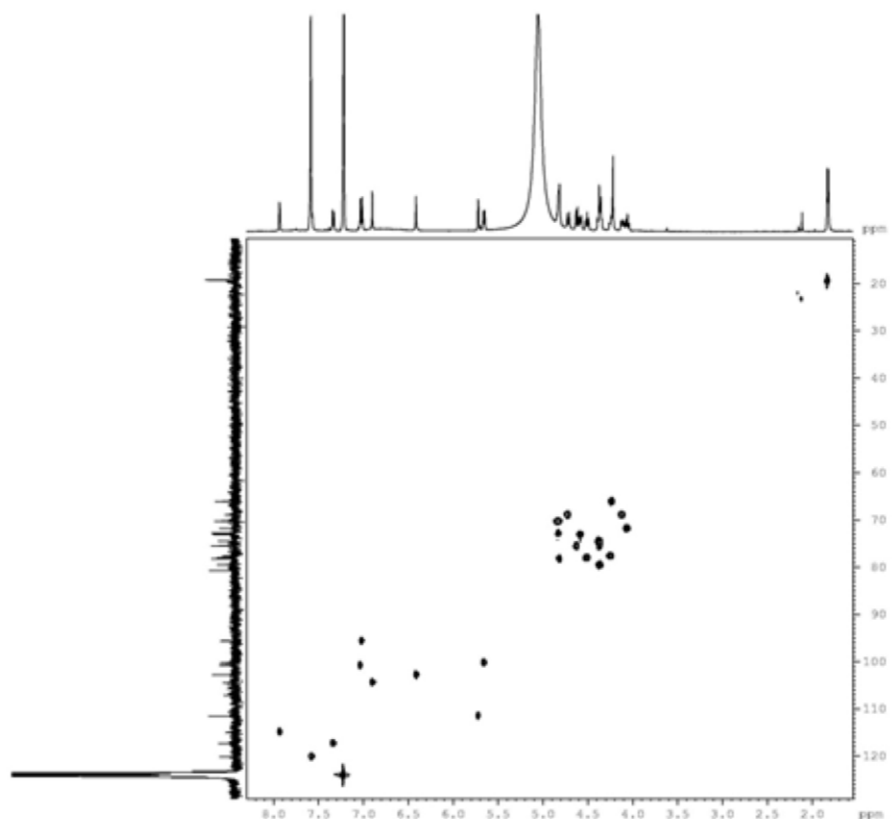


Figura 13S. Espectro de HSQC (500/125 MHz, $\text{C}_5\text{D}_5\text{N}$) do composto 5

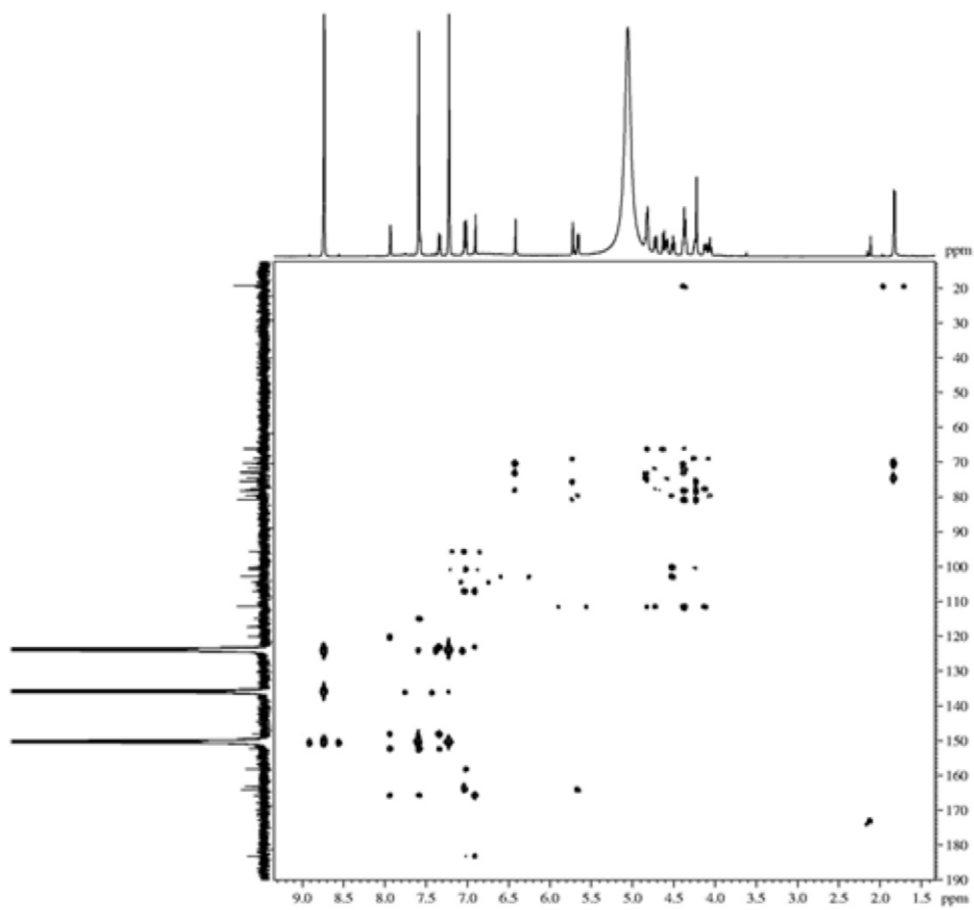


Figura 14S. Espectro de HMBC (500/125 MHz, $\text{C}_5\text{D}_5\text{N}$) do composto 5

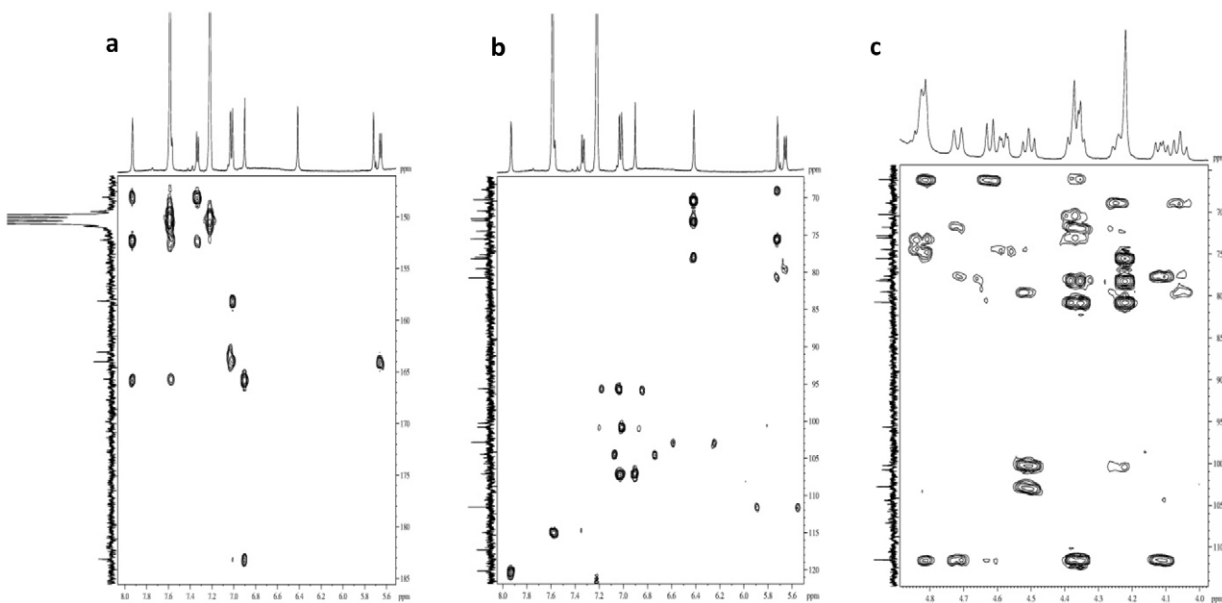


Figura 15S (a,b,c). Expansões do espectro de HMBC (500/125 MHz, $\text{C}_5\text{D}_5\text{N}$) do composto 5 (a δ 5,6–8,0) (b δ 5,6–8,0) (c δ 4,0–4,9)

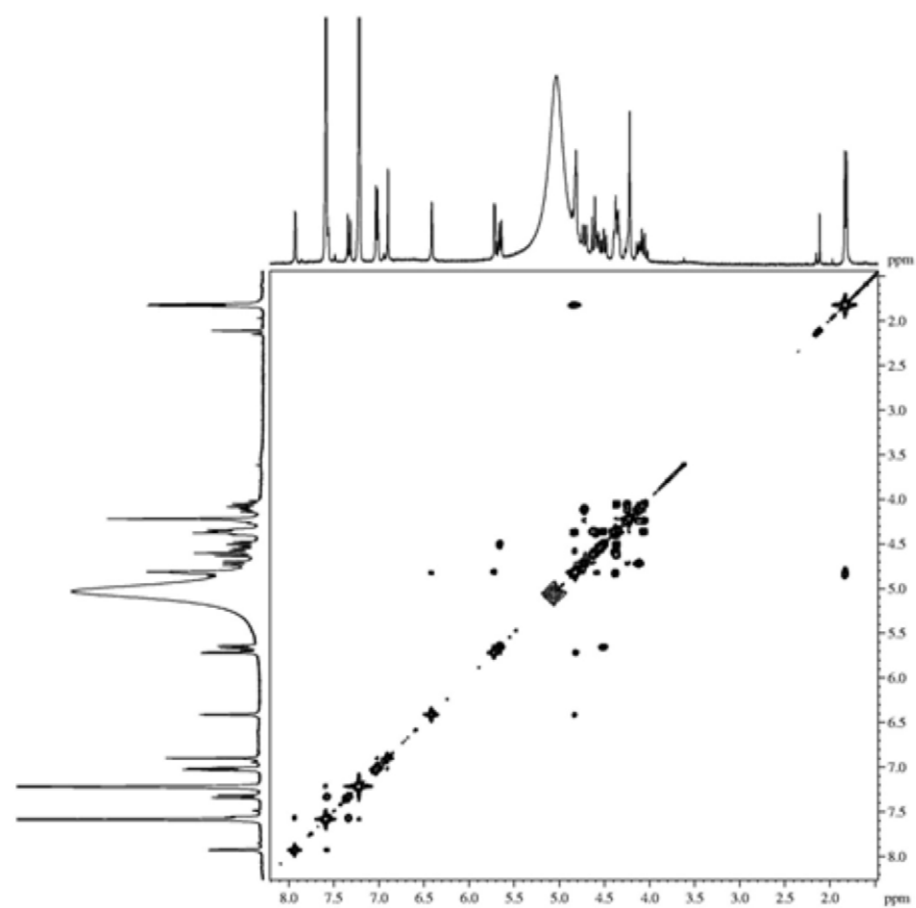


Figura 16S. Espectro de COSY (500 MHz, C_5D_5N) do composto 5

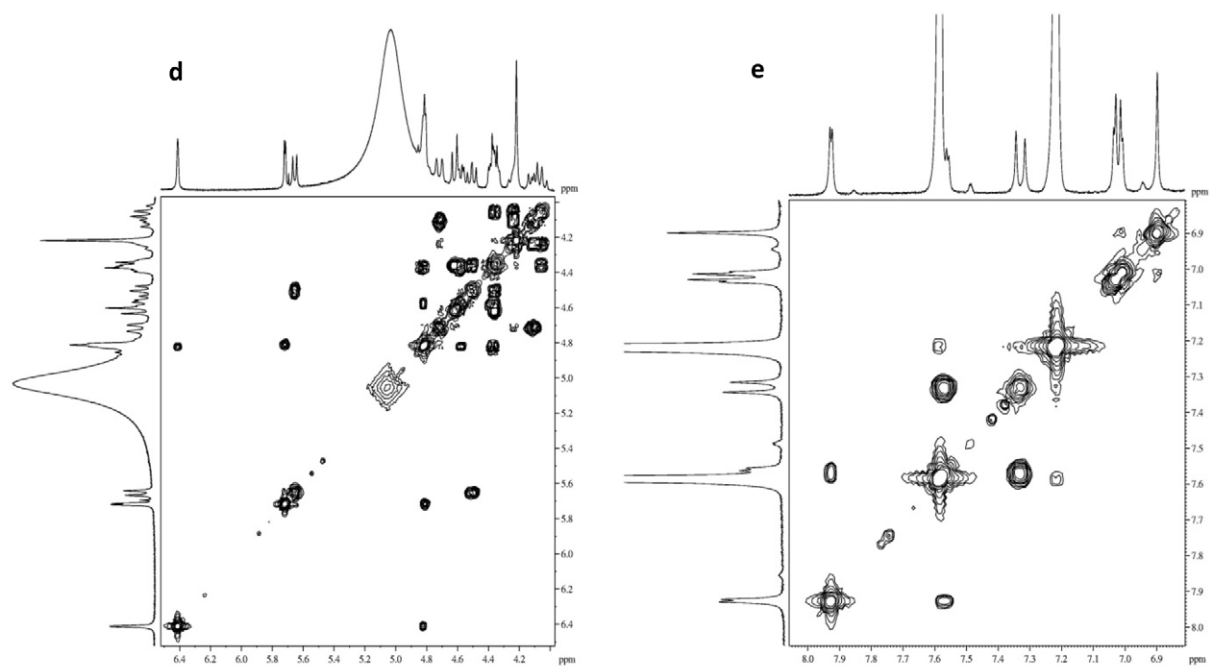


Figura 17S (d,e). Expansões do espectro de COSY (500 MHz, C_5D_5N) do composto 5 (d δ 4,1–6,5) (e δ 6,8–8,1)

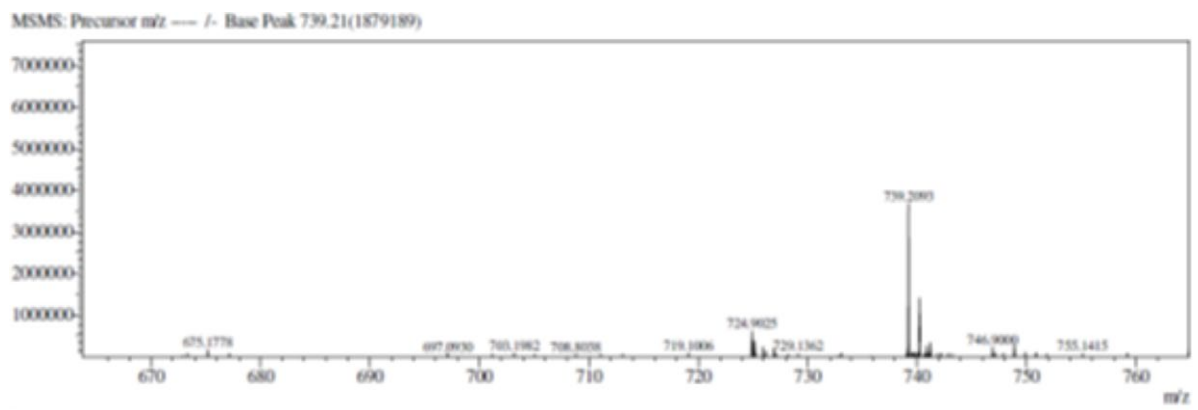


Figura 18S. EM-IES no modo negativo do composto 6

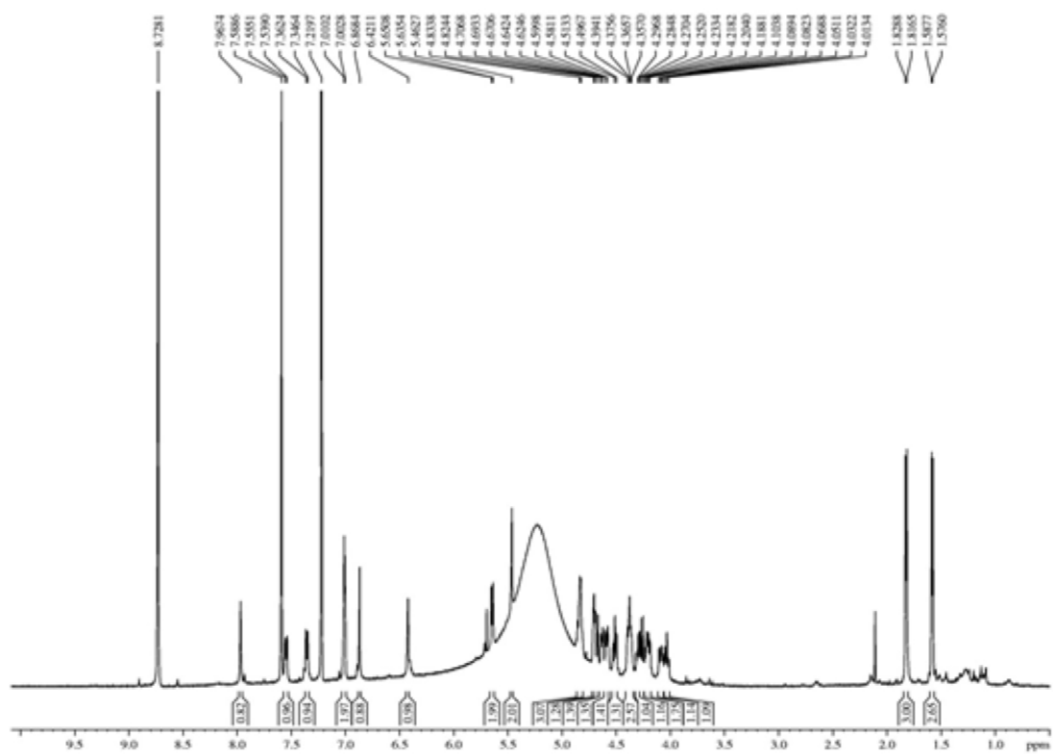


Figura 19S. Espectro de RMN 1H (500 MHz, C_5D_5N) do composto **6**

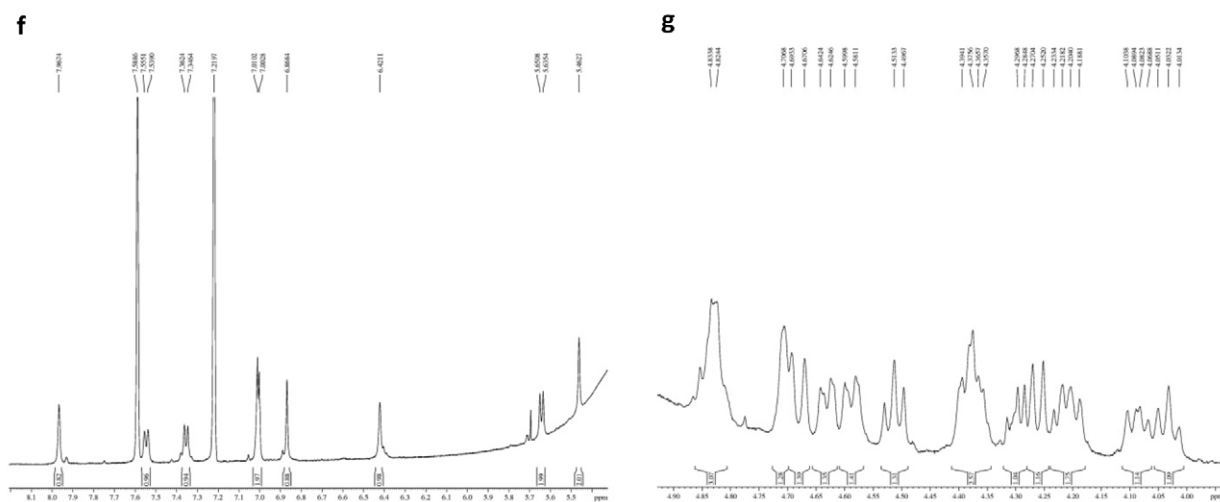


Figura 20S (f,g). Expansões do espectro de RMN ^1H (500 MHz, $\text{C}_5\text{D}_5\text{N}$) do composto 6 (f δ 5,4-8,2)(g δ 4,0-4,9)

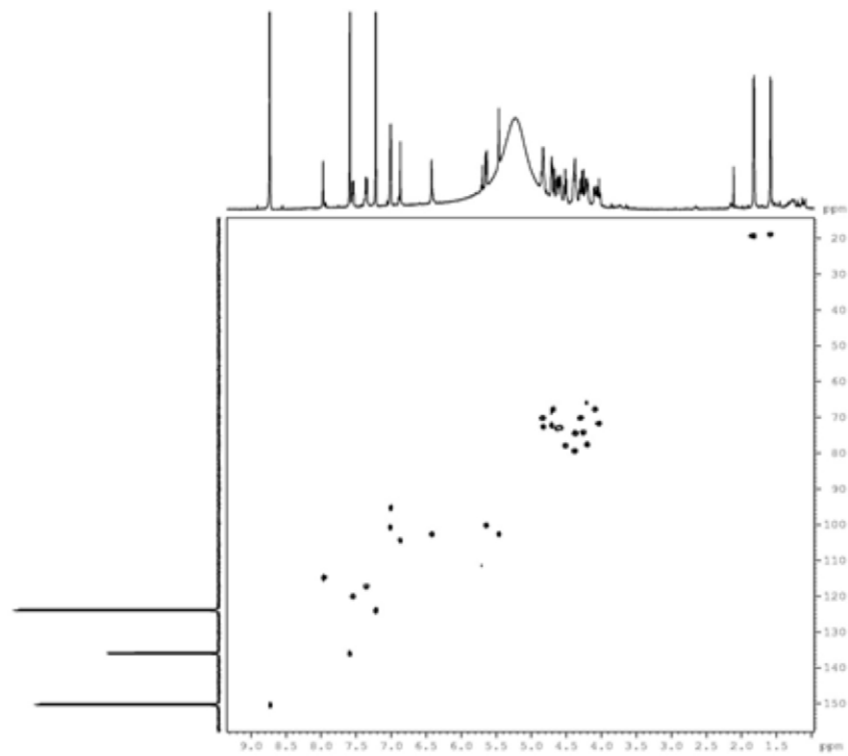


Figura 21S. Espectro de HSQC (500/125 MHz, $\text{C}_5\text{D}_5\text{N}$) do composto 6

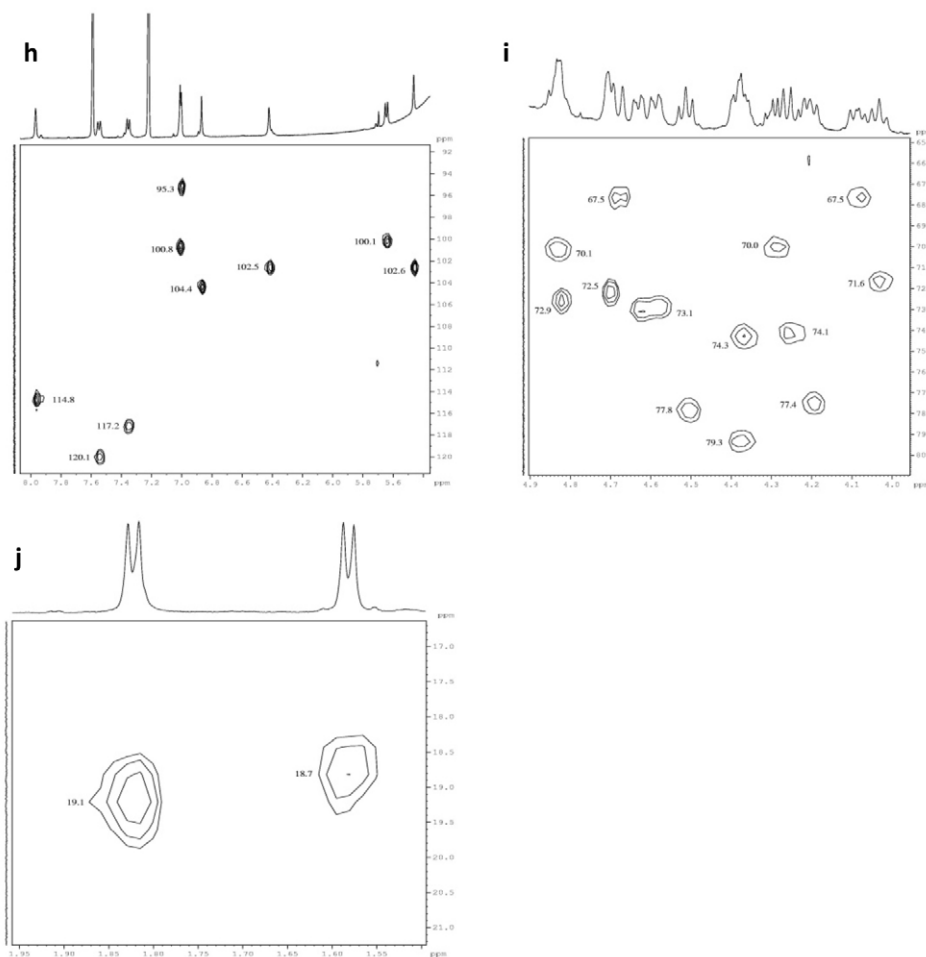


Figura 22S (h,i,j). Expansões do espectro de HSQC (500/125 MHz, C_5D_5N) do composto 6 (h δ 5,4–6,2) (i δ 4,0–4,9) (j δ 1,5–1,9)

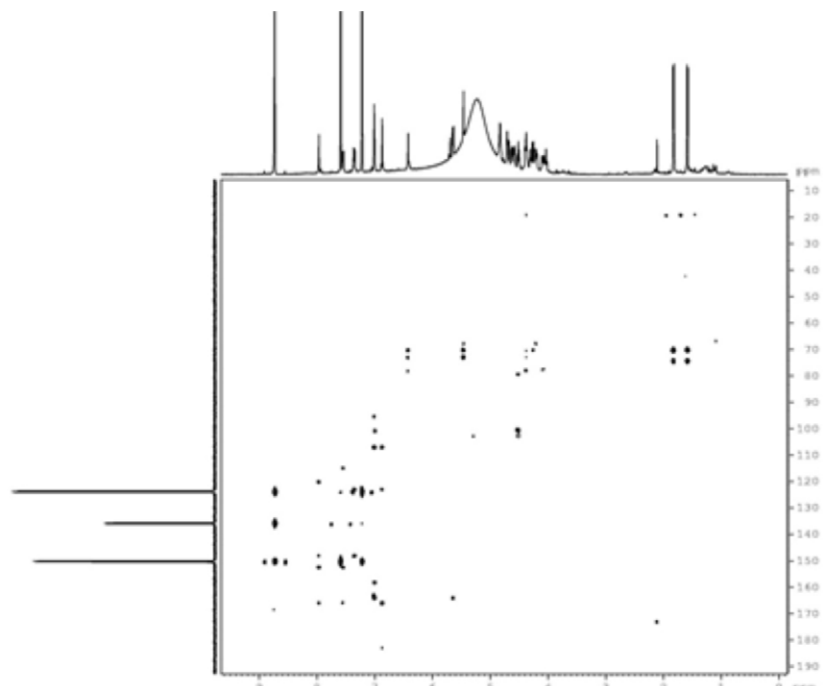


Figura 23S. Espectro de HMBC (500/125 MHz, C_5D_5N) do composto 6

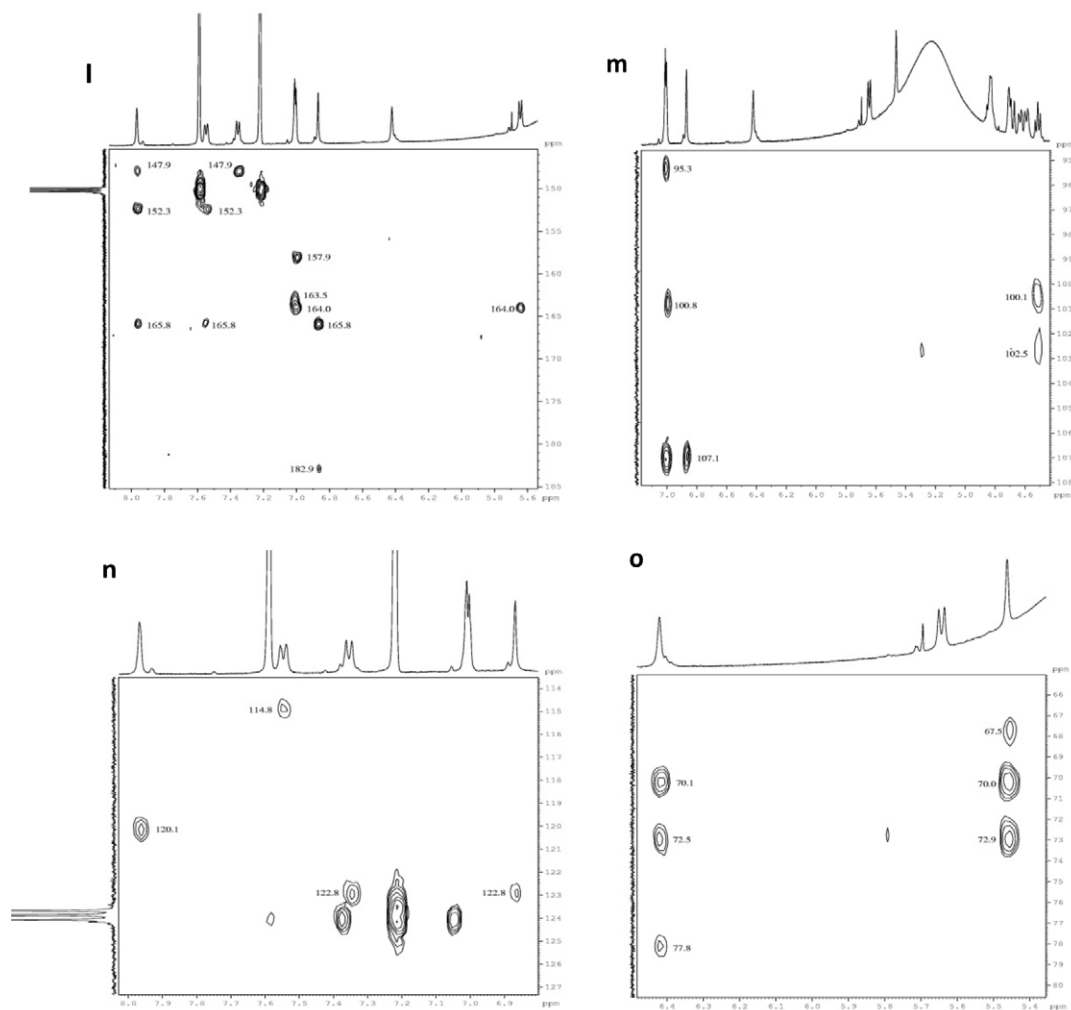


Figura 24S (l,m,n,o). Expansões do espectro de HMBC (500/125 MHz, C_6D_6N) do composto **6** ($l \delta 5,6\text{--}8,1$) ($m \delta 4,5\text{--}7,1$) ($n \delta 6,8\text{--}8,0$) ($o \delta 5,4\text{--}6,5$)

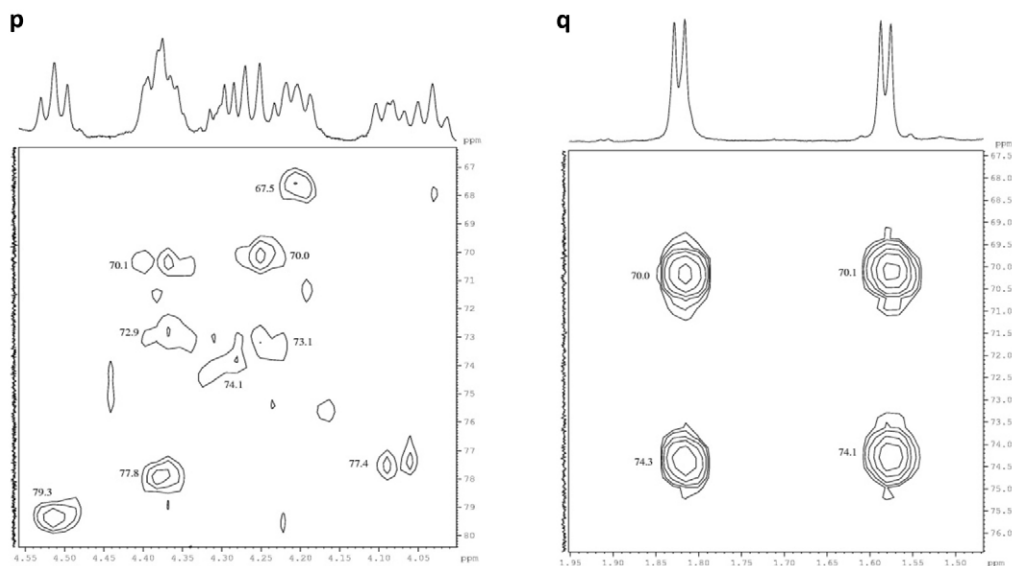


Figura 25S (p,q). Expansões do espectro de HMBC (500/125 MHz, C_6D_6N) do composto **6** ($p \delta 4,0\text{--}4,5$) ($q \delta 1,5\text{--}1,9$)

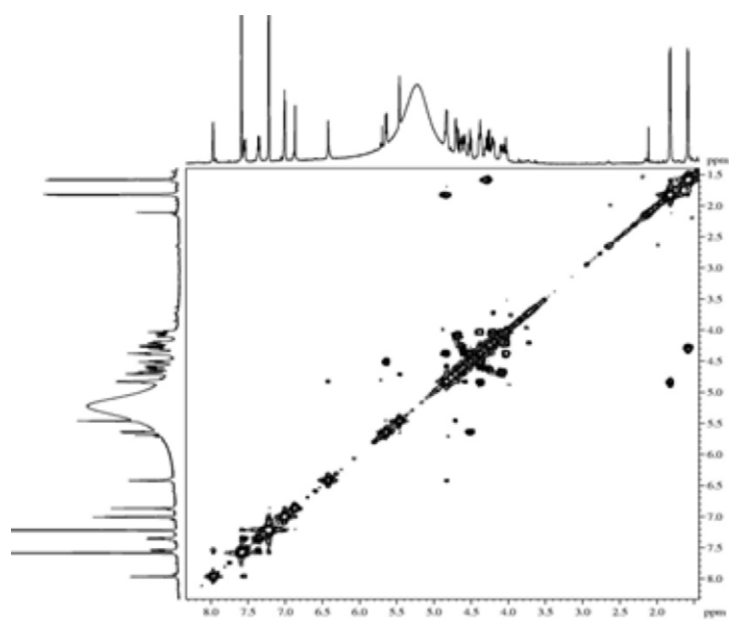


Figura 26S. Espectro de COSY (500/500 MHz, C_5D_5N) do composto 6

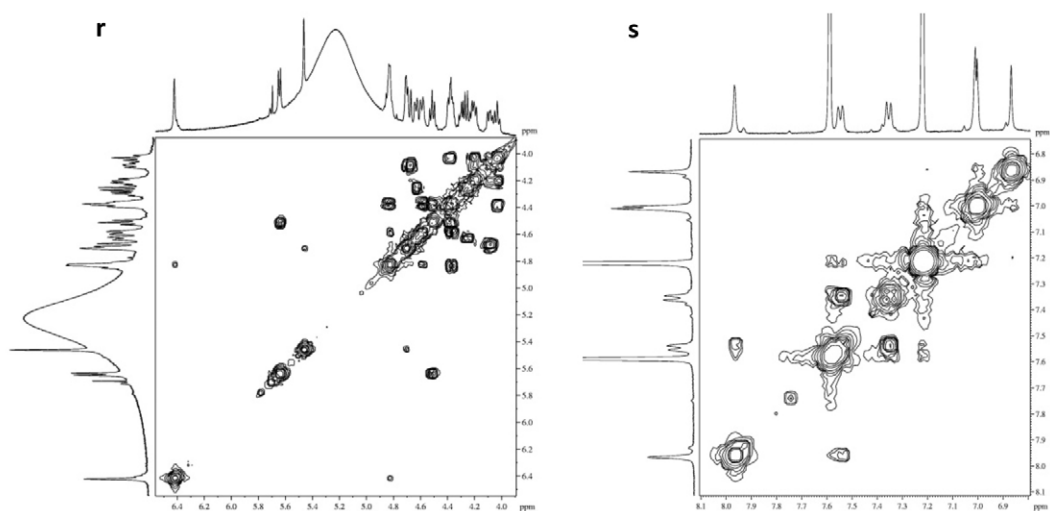


Figura 27S (r,s). Expansões do espectro de COSY (500 MHz, C_5D_5N) do composto 6 (r δ 3,9-6,6) (s δ 6,8-8,1)